



Laboratorium EMVO Sp. J. Urbański, Pawelak  
ul. Jasna 1  
00-013 Warszawa

tel. +48 22 780 29 64  
e-mail: laboratorium@emvo.pl



AB 1630

## Sprawozdanie z pomiarów pól elektromagnetycznych - środowisko nr 08/02/OŚ/2024 -ELT



|                   |  |                          |
|-------------------|--|--------------------------|
| Nr i nazwa stacji | BT43490 TRZEBIATOW_KOSCIOL   |                          |
| Adres             | 72-320 Trzebiatów, ul. Lipowa 10, sanktuarium pw. Macierzyństwa NMP,<br>pow. gryficki, woj. zachodniopomorskie |                          |
| Opracowanie       | Gabriel Karczmarczyk   | Specjalista ds. pomiarów |
| Autoryzacja       | Andrzej Urbański   | Kierownik Laboratorium   |
| Podpis            |  |                          |
| Data              | 2024-02-14   |                          |

## Spis treści

|   |   |
|---|---|
| 1. Informacje ogólne.....   | 3 |
| 2. Podstawa prawna. ....  | 3 |
| 3. Opis pomiarów.....   | 3 |
| 4. Zróżnicowanie dopuszczalne poziomy pól elektromagnetycznych..... | 5 |
| 5. Charakterystyka źródeł PEM.....                                  | 5 |
| 6. Wyniki pomiarów.....   | 5 |
| 7. Stwierdzenie zgodności .....                                     | 6 |
| 8. Oświadczenie.....  | 9 |
| 9. Spis załączników. ....   | 9 |

## 1. Informacje ogólne.

|   |  |
|---|--|
| Zleceniodawca   | <b>Axians Networks Poland Sp. z o.o.</b><br>ul. Annopol 4a, 03-236 Warszawa<br>Osoba udzielająca informacji –<br>Piotr Miliszkiewicz |
| Istotne informacje dostarczone przez klienta                            | komplet informacji niezbędnych do wykonania pomiarów i opracowania sprawozdania  |
| Dane otrzymane od klienta mogące mieć wpływ na ważność wyników          | Dane anten sektorowych, dane anten radioliniowych, parametry pracy instalacji, poprawka pomiarowa, ustawienie pochylenia anten       |
| Prowadzący instalację   | <b>TOWERLINK POLAND SP. z.o.o.</b> , ul. Kasprzaka 4,<br>01-211 Warszawa   |
| Lokalizacja obiektu   | 72-320 Trzebiatów, ul. Lipowa 10, sanktuarium pw. Macierzyństwa NMP,<br>pow. gryficki, woj. zachodniopomorskie                       |
| Miejsce instalacji anten  | Wieża kościelna  |
| Miejsce instalacji urządzeń   | Indoor   |
| Osoby wykonujące pomiar   | Roman Murawski   |
| Data wykonania pomiaru  | 14.02.2024   |
| Temperatura na początku pomiaru [°C]                                    | 8,4  |
| Temperatura na koniec pomiaru [°C]                                      | 9,0  |
| Warunki atmosferyczne   | Brak opadów  |
| Wilgotność na początku pomiaru [%]                                      | 76,0   |
| Wilgotność na koniec pomiaru [%]  | 78,9   |
| Godzina na początku pomiaru   | 7:38   |
| Godzina na koniec pomiaru   | 11:30  |
| Inne źródła pól elektromagnetycznych oznaczone na załączniku graficznym | Występują  |
| Parametry pracy instalacji  | Tryb eksploatacyjny  |

## 2. Podstawa prawna.

### 2.1 Normy i rozporządzenia:

- Ustawa z dnia 27 kwietnia 2001 r. Prawo Ochrony Środowiska (Dz. U. z 2022 r., poz 2556 z późn. zm.)
- Rozporządzenia Ministra Zdrowia z dnia 17 grudnia 2019 r. w sprawie dopuszczalnych poziomów pól elektromagnetycznych w środowisku (Dz. U. z 2019 r., poz. 2448),
- Rozporządzenie Ministra Klimatu z dnia 17.02.2020 r. w sprawie sposobów sprawdzania dotrzymania dopuszczalnych poziomów pól elektromagnetycznych w środowisku (Dz. U. z 2022 r., poz. 2630).

## 3. Opis pomiarów

„Bez pisemnej zgody Laboratorium niniejsze sprawozdanie nie może być powielane inaczej, jak tylko w całości. Ponadto wyniki dotyczą tylko badanych obiektów przywołanych w niniejszym sprawozdaniu z badań”

|                          |  |
|--------------------------|--|
| Metodologia pomiarowa    | Pomiary w oparciu o Rozporządzenie Ministra Klimatu z dnia 17 lutego 2020 r. w sprawie sposobów sprawdzania dotrzymania dopuszczalnych poziomów pól elektromagnetycznych w środowisku (Dz.U. 2022 poz. 2630).  |
| Cel badań                | Określenie wartości natężenia pola elektrycznego w miejscach dostępnych dla ludności.  |
| Opis zestawu pomiarowego | <p>Miernik Narda NBM 550 nr F-0303 - 01/WL, Sonda EF6092 nr A-0061 - 02WL, o zakresie pomiarowym 0,7 V/m –300V/m pracująca w paśmie 0,1 – 90 GHz, świadectwo wydane przez Laboratorium Wzorców i Metrologii Pola Elektromagnetycznego, Instytut Telekomunikacji, Teleinformatyki i Akustyki Politechniki Wrocławskiej. Świadectwo wzorcowania LWiMP/W/161/22 ważne do 10.06.2024 r.</p> <p>Miernik Narda NBM 550, Sonda EF-6092 pracująca w zakresie temperatury -10°C - +50°C oraz wilgotności 5% - 95%</p> <p>Niepewność rozszerzona wynosi 57,2% przy poziomie ufności 95% z uwzględnieniem współczynnika rozszerzenia k=2.</p>   |
| Wypożyczenie pomocnicze  | <p>Termohigrometr BESTONE nr BE807 EF1222013 - WL/07. Sprawdzany okresowo.</p> <p>Dalmierz laserowy BOSCH Professional GLM 40 nr 328411710 - WL/60. Sprawdzany okresowo.</p> <p>GPS Garmin 65 nr 6QA008957 - WL/54. Sprawdzany okresowo w punktach osnowy geodezyjnej, zgodnie z procedurą laboratorium PZ-6.5 sprawdzanie wewnętrzne WL.</p>  |
| Pomiary zostały wykonane | <ol style="list-style-type: none"> <li>1. na głównych i pomocniczych kierunkach pomiarowych, na kierunkach zbliżonych do azymutów anten oraz w dodatkowych pionach pomiarowych zgodnie z wymaganiami pkt 12, 13, 14 i 19 Rozporządzenia Ministra Klimatu z dnia 17 lutego 2020 r. (Dz.U. 2022 poz. 2630). Wybór i lokalizacja pionów pomiarowych, w tym znajdujących się wewnątrz lokali, zostały ustalone zgodnie z procedurą laboratorium nr PP-7.3/7.4/7.5-11, z uwzględnieniem: rodzaju badanej instalacji (w tym parametrów technicznych instalacji), lokalizacji badanej instalacji, ukształtowania terenu wokół badanej instalacji.</li> <li>2. na obszarze pomiarowym, dla którego, na podstawie uprzednio przeprowadzonych obliczeń stwierdzono w miejscach dostępnych dla ludności występowanie pól elektromagnetycznych o najwyższym poziomie, które pochodzą z badanej instalacji zgodnie z wymaganiami pkt 5 ppkt 2 oraz pkt 13 ppkt 1 Rozporządzenia Ministra Klimatu z dnia 17 lutego 2020 r. w sprawie sposobów sprawdzania dotrzymania dopuszczalnych poziomów pól elektromagnetycznych w środowisku (Dz.U. 2022 poz. 2630). Wyniki obliczeń nie uwzględniały parametrów pracy instalacji innych operatorów występujących na obiekcie bądź w obszarze pomiarowym.</li> <li>3. w miejscach dostępnych dla ludności.</li> <li>4. miejsca niedostępne podczas wykonywania pomiarów wskazane zostały w pkt 6 (tabeli wyniki pomiarów)</li> <li>5. w dodatkowych pionach pomiarowych w lokalach oraz na balkonach i tarasach, na których mogą przebywać ludzie, po poinformowaniu o planowanych pomiarach z minimum 3-dniowym wyprzedzeniem i po umożliwieniu dostępu do lokalu, balkonu lub tarasu przez jego dysponenta lub bez zachowania terminu wskazanego w pierwszej części zdania za zgodą dysponenta przestrzeni pomiarowej.</li> </ol> |
| Sposób powiadamiania     | Zgodnie z pkt 14 Rozporządzenia Ministra Klimatu z dnia 17 lutego 2020 r. w  |

dysponentów

sprawie sposobów sprawdzania dotrzymania dopuszczalnych poziomów pól elektromagnetycznych w środowisku (Dz.U. 2022 poz. 2630). poinformowano dysponentów lokali o planowanych pomiarach.

Informacji dokonano między innymi poprzez:

1. bloki mieszkalne – zawiadomienie spółdzielni mieszkaniowej, zarządcy nieruchomości, zarządu wspólnoty, umieszczenie informacji o planowanych pomiarach na tablicach ogłoszeń w klatkach schodowych bloków lub na drzwiach wejściowych,
2. biurowce, budynki użyteczności publicznej itp. - przekazanie zawiadomienia do administracji lub recepcji obiektu,
3. domy jednorodzinne, szeregowce itp.- pozostawienie informacji w skrynkach pocztowych itp. lub przekazanie osobiste.

Warunki pracy urządzeń nadawczych

Tryb pracy eksploatacyjny.

#### 4. Zróżnicowanie dopuszczalne poziomy pól elektromagnetycznych.

Zakresy znajdują się w Dzienniku Ustaw z dnia 17 grudnia 2019 r. przedstawione są w tabeli nr 2 (Dz. U. z 2019r. poz. 2448).

| Parametr fizyczny<br>Zakres<br>Częstotliwości pola<br>elektromagnetycznego | Składowa elektryczna E<br>(V/m) | Składowa magnetyczna H<br>(A/m) | Gęstość mocy S<br>(W/m <sup>2</sup> ) |
|--|---------------------------------|---------------------------------|---------------------------------------|
| od 400 MHz do 2000 MHz   | $1,375 \times f^{0,5}$          | $0,0037 \times f^{0,5}$         | $f / 200$                             |
| od 2 GHz do 300 GHz  | 61                              | 0,16                            | 10                                    |

#### 5. Charakterystyka źródeł PEM.

Zgodnie z informacją otrzymaną od Klienta pomiary zostały wykonane przy ustawieniach pochyleń anten zgodnych z pkt. 13, ppkt 2 Rozporządzenia Ministra Klimatu z dnia 17 lutego 2020 roku.

Tabela 1. Anteny sektorowe – dane otrzymane od klienta

| Typ anteny   | Współrzędne geograficzne     | Azymut mechaniczny [°] | Azymut elektryczny [°] | Wysokość zawieszenia anten (środek anteny) n.p.t. [m] | Pasma częstotliwości [MHz] | Zakres pochylenia elektrycznego [°] | Średnie pochylenie anten (ustawione do pomiarów PEM) [°] | Zakres pochylenia mechanicznego [°] | Moc EIRP [W] | Suma EIRP [W] |
|--------------|------------------------------|------------------------|------------------------|---|----------------------------|-------------------------------------|--|-------------------------------------|--------------|---------------|
| ADU4518R7V06 | 15°16'00.0"E<br>54°03'50.0"N | 80                     | 80                     | 48,20   | 1800                       | 2,0 - 12,0                          | 5,5  | 0,0                                 | 2591         | 7025          |
|              |                              |                        |                        |   | 900                        | 0,0 - 12,0                          | 5,5  |                                     | 4434         |               |
| ADU4518R7V06 | 15°16'00.0"E<br>54°03'50.0"N | 200                    | 200                    | 48,20   | 1800                       | 2,0 - 12,0                          | 5,5  | 0,0                                 | 2591         | 7025          |
|              |                              |                        |                        |   | 900                        | 0,0 - 12,0                          | 5,5  |                                     | 4434         |               |
| ADU4518R7V06 | 15°16'00.0"E<br>54°03'50.0"N | 320                    | 320                    | 48,20   | 1800                       | 2,0 - 12,0                          | 5,5  | 0,0                                 | 2591         | 7025          |
|              |                              |                        |                        |   | 900                        | 0,0 - 12,0                          | 5,5  |                                     | 4434         |               |
| 120125       | 15°16'00.0"E<br>54°03'50.0"N | 80                     | 80                     | 48,20   | 2600                       | 1,0 - 10,0                          | 5,5  | 0,0                                 | 7154         | 7154          |
| A264521R2V06 | 15°16'00.0"E<br>54°03'50.0"N | 205                    | 205                    | 48,20   | 2600                       | 2,0 - 12,0                          | 7,0  | 0,0                                 | 5303         | 5303          |
| 120125       | 15°16'00.0"E<br>54°03'50.0"N | 320                    | 320                    | 48,20   | 2600                       | 1,0 - 10,0                          | 5,5  | 0,0                                 | 7154         | 7154          |
| 120125       | 15°16'00.0"E<br>54°03'50.0"N | 80                     | 80                     | 48,20   | 2600                       | 1,0 - 10,0                          | 5,5  | 0,0                                 | 19077        | 19077         |
| 120125       | 15°16'00.0"E<br>54°03'50.0"N | 200                    | 200                    | 48,20   | 2600                       | 1,0 - 10,0                          | 5,5  | 0,0                                 | 19077        | 19077         |
| 120125       | 15°16'00.0"E<br>54°03'50.0"N | 290                    | 290                    | 48,20   | 2600                       | 1,0 - 10,0                          | 5,5  | 0,0                                 | 19077        | 19077         |
| A264521R2V06 | 15°16'00.0"E<br>54°03'50.0"N | 250                    | 250                    | 48,20   | 2600                       | 2,0 - 12,0                          | 7,0  | 0,0                                 | 5533         | 5533          |

Tabela 2. Anteny radioliniowe – dane otrzymane od klienta

| Typ anteny     | Współrzędne geograficzne     | Azymut [°] | Średnica [m] | Pasma częstotliwości [GHz] | Zysk energetyczny [dBi] | Moc wyjściowa nadajnika [dBm] | EIRP [W] | Wysokość środka elektrycznego anten n.p.t. [m] |
|----------------|------------------------------|------------|--------------|----------------------------|-------------------------|-------------------------------|----------|--|
| UKY 230 41/14H | 15°16'00.0"E<br>54°03'50.0"N | 144        | 0,3          | 80                         | 46,5                    | 16                            | 1778,28  | 35,0   |

## 6. Wyniki pomiarów.

Wyniki pomiarów pól elektromagnetycznych dla celów ochrony środowiska przedstawia poniższa tabela. Piony pomiarowe zostały przedstawione w zał. 2.

| Nr PP | Pole-E [V/m] | Pole-E, +U [V/m] | Pole-H [A/m] | Pole-H +U [A/m] | Wys. pomiaru [m] | Opis pionu                   | Uwagi  | WM <sub>E</sub> | WM <sub>H</sub> |
|-------|--------------|------------------|--------------|-----------------|------------------|------------------------------|--|-----------------|-----------------|
| 1     | 0,7*         | 1,26             | 0,002        | 0,003           | 0,3-2,0          | 54°03'51.6"N<br>15°16'11.8"E | otoczenie stacji bazowej - wzdłuż gł. osi promieniowania - GKP | 0,045           | 0,046           |
| 2     | 0,8          | 1,26             | 0,002        | 0,003           | 0,3-2,0          | 54°03'52.3"N<br>15°16'16.2"E | otoczenie stacji bazowej - wzdłuż gł. osi promieniowania - GKP | 0,045           | 0,046           |
| 3     | 0,9          | 1,41             | 0,002        | 0,004           | 0,3-2,0          | 54°03'52.9"N<br>15°16'21.5"E | otoczenie stacji bazowej - wzdłuż gł. osi promieniowania - GKP | 0,051           | 0,051           |
| 4     | 1,0          | 1,57             | 0,003        | 0,004           | 0,3-2,0          | 54°03'53.7"N<br>15°16'27.2"E | otoczenie stacji bazowej - wzdłuż gł. osi promieniowania - GKP | 0,056           | 0,057           |
| 5     | 0,7*         | 1,26             | 0,002        | 0,003           | 0,3-2,0          | 54°03'54.1"N<br>15°16'30.1"E | otoczenie stacji bazowej - wzdłuż gł. osi promieniowania - GKP | 0,045           | 0,046           |
| 6     | 0,9          | 1,41             | 0,002        | 0,004           | 0,3-2,0          | 54°03'47.4"N<br>15°15'58.1"E | otoczenie stacji bazowej - wzdłuż gł. osi promieniowania - GKP | 0,051           | 0,051           |
| 7     | 0,7*         | 1,26             | 0,002        | 0,003           | 0,3-2,0          | 54°03'38.5"N<br>15°15'53.8"E | otoczenie stacji bazowej - wzdłuż gł. osi promieniowania - GKP | 0,045           | 0,046           |
| 8     | 1,2          | 1,89             | 0,003        | 0,005           | 0,3-2,0          | 54°03'46.0"N<br>15°15'56.9"E | otoczenie stacji bazowej - wzdłuż gł. osi promieniowania - GKP | 0,067           | 0,069           |
| 9     | 1,4          | 2,20             | 0,004        | 0,006           | 0,3-2,0          | 54°03'43.7"N<br>15°15'55.3"E | otoczenie stacji bazowej - wzdłuż gł. osi promieniowania - GKP | 0,079           | 0,080           |
| 10    | 0,7*         | 1,26             | 0,002        | 0,003           | 0,3-2,0          | 54°03'48.7"N<br>15°15'54.1"E | otoczenie stacji bazowej - wzdłuż gł. osi promieniowania - GKP | 0,045           | 0,046           |

| Nr PP | Pole-E [V/m] | Pole-E, +U [V/m] | Pole-H [A/m] | Pole-H +U [A/m] | Wys. pomiaru [m] | Opis pionu                   | Uwagi   | WM <sub>E</sub> | WM <sub>H</sub> |
|-------|--------------|------------------|--------------|-----------------|------------------|------------------------------|---|-----------------|-----------------|
| 11    | 0,7*         | 1,26             | 0,002        | 0,003           | 0,3-2,0          | 54°03'47.4"N<br>15°15'49.1"E | otoczenie stacji bazowej - wzdłuż gł. osi promieniowania - GKP            | 0,045           | 0,046           |
| 12    | 0,7*         | 1,26             | 0,002        | 0,003           | 0,3-2,0          | 54°03'45.9"N<br>15°15'43.2"E | otoczenie stacji bazowej - wzdłuż gł. osi promieniowania - GKP            | 0,045           | 0,046           |
| 13    | 0,7*         | 1,26             | 0,002        | 0,003           | 0,3-2,0          | 54°03'44.8"N<br>15°15'38.6"E | otoczenie stacji bazowej - wzdłuż gł. osi promieniowania - GKP            | 0,045           | 0,046           |
| 14    | 0,7*         | 1,26             | 0,002        | 0,003           | 0,3-2,0          | 54°03'51.3"N<br>15°15'53.2"E | otoczenie stacji bazowej - wzdłuż gł. osi promieniowania - GKP            | 0,045           | 0,046           |
| 15    | 0,7*         | 1,26             | 0,002        | 0,003           | 0,3-2,0          | 54°03'51.7"N<br>15°15'50.7"E | otoczenie stacji bazowej - wzdłuż gł. osi promieniowania - GKP            | 0,045           | 0,046           |
| 16    | 0,8          | 1,26             | 0,002        | 0,003           | 0,3-2,0          | 54°03'52.4"N<br>15°15'46.9"E | otoczenie stacji bazowej - wzdłuż gł. osi promieniowania - GKP            | 0,045           | 0,046           |
| 17    | 1,1          | 1,73             | 0,003        | 0,005           | 0,3-2,0          | 54°03'52.8"N<br>15°15'44.5"E | otoczenie stacji bazowej - wzdłuż gł. osi promieniowania - GKP            | 0,062           | 0,063           |
| 18    | 1,0          | 1,57             | 0,003        | 0,004           | 0,3-2,0          | 54°03'53.9"N<br>15°15'38.5"E | otoczenie stacji bazowej - wzdłuż gł. osi promieniowania - GKP            | 0,056           | 0,057           |
| 19    | 0,7*         | 1,26             | 0,002        | 0,003           | 0,3-2,0          | 54°03'51.9"N<br>15°15'56.8"E | otoczenie stacji bazowej - wzdłuż gł. osi promieniowania - GKP            | 0,045           | 0,046           |
| 20    | 0,7*         | 1,26             | 0,002        | 0,003           | 0,3-2,0          | 54°03'53.6"N<br>15°15'54.3"E | otoczenie stacji bazowej - wzdłuż gł. osi promieniowania - GKP            | 0,045           | 0,046           |
| 21    | 0,7*         | 1,26             | 0,002        | 0,003           | 0,3-2,0          | 54°03'55.3"N<br>15°15'51.6"E | otoczenie stacji bazowej - wzdłuż gł. osi promieniowania - GKP            | 0,045           | 0,046           |
| 22    | 0,8          | 1,26             | 0,002        | 0,003           | 0,3-2,0          | 54°03'56.9"N<br>15°15'49.2"E | otoczenie stacji bazowej - wzdłuż gł. osi promieniowania - GKP            | 0,045           | 0,046           |
| 23    | 1,0          | 1,57             | 0,003        | 0,004           | 0,3-2,0          | 54°03'58.6"N<br>15°15'46.7"E | otoczenie stacji bazowej - wzdłuż gł. osi promieniowania - GKP            | 0,056           | 0,057           |
| 24    | 1,2          | 1,89             | 0,003        | 0,005           | 0,3-2,0          | 54°04'00.2"N<br>15°15'44.1"E | otoczenie stacji bazowej - wzdłuż gł. osi promieniowania - GKP            | 0,067           | 0,069           |
| 25    | 1,4          | 2,20             | 0,004        | 0,006           | 0,3-2,0          | 54°04'01.6"N<br>15°15'41.8"E | otoczenie stacji bazowej - wzdłuż gł. osi promieniowania - GKP            | 0,079           | 0,080           |
| 26    | 1,2          | 1,89             | 0,003        | 0,005           | 0,3-2,0          | 54°04'03.3"N<br>15°15'39.2"E | otoczenie stacji bazowej - wzdłuż gł. osi promieniowania - GKP            | 0,067           | 0,069           |
| 27    | 1,9          | 2,99             | 0,005        | 0,008           | 0,3-2,0          | 54°03'48.5"N<br>15°16'02.3"E | otoczenie stacji bazowej - wzdłuż gł. osi promieniowania - GKP            | 0,107           | 0,109           |
| A     | 0,7*         | 1,26             | 0,002        | 0,003           | 0,3-2,0          | 54°03'50.1"N<br>15°15'59.3"E | Lipowa 10, Kościół, pomiar przed wejściem - DPP                           | 0,045           | 0,046           |
| B     | 2,4          | 3,77             | 0,006        | 0,010           | 0,3-2,0          | 54°03'49.8"N<br>15°15'58.3"E | Jana Pawła II 1, pomiar w otworze okiennym, piętro 2, mieszkania 11 - DPP | 0,135           | 0,137           |
|       | 1,8          | 2,83             | 0,005        | 0,008           | 0,3-2,0          |                              | Jana Pawła II 1, pomiar w otworze okiennym, piętro 1, mieszkania 9 - DPP  | 0,101           | 0,103           |
|       | 1,4          | 2,20             | 0,004        | 0,006           | 0,3-2,0          |                              | Jana Pawła II 1, pomiar przy otworze okiennym przed budynkiem -DPP        | 0,079           | 0,080           |
| C     | 0,7*         | 1,26             | 0,002        | 0,003           | 0,3-2,0          | 54°03'51.1"N<br>15°15'57.9"E | Lipowa 10, pomiar przy otworze okiennym przed budynkiem -DPP              | 0,045           | 0,046           |
| D     | 1,3          | 2,04             | 0,003        | 0,005           | 0,3-2,0          | 54°03'51.8"N<br>15°15'59.3"E | Lipowa 4, pomiar w otworze okiennym, piętro 1, mieszkania 2 - DPP         | 0,073           | 0,074           |
|       | 0,7*         | 1,26             | 0,002        | 0,003           | 0,3-2,0          |                              | Lipowa 4, pomiar przy otworze okiennym przed budynkiem -DPP               | 0,045           | 0,046           |
| E     | 1,9          | 2,99             | 0,005        | 0,008           | 0,3-2,0          | 54°03'50.1"N<br>15°15'55.7"E | Lipowa 12, pomiar w otworze okiennym, piętro 4, mieszkania 10 - DPP       | 0,107           | 0,109           |
|       | 1,4          | 2,20             | 0,004        | 0,006           | 0,3-2,0          |                              | Lipowa 12, pomiar w otworze okiennym, piętro 3, mieszkania 7 - DPP        | 0,079           | 0,080           |
| F     | 1,5          | 2,36             | 0,004        | 0,006           | 0,3-2,0          | 54°03'48.5"N<br>15°15'59.9"E | Słowackiego 11, pomiar przy otworze okiennym przed budynkiem -DPP         | 0,084           | 0,086           |

„Bez pisemnej zgody Laboratorium niniejsze sprawozdanie nie może być powielane inaczej, jak tylko w całości. Ponadto wyniki dotyczą tylko badanych obiektów przywołanych w niniejszym sprawozdaniu z badań”  
08/02/OŚ/2024 -ELT

| Nr PP | Pole-E [V/m] | Pole-E, +U [V/m] | Pole-H [A/m] | Pole-H +U [A/m] | Wys. pomiaru [m] | Opis pionu                   | Uwagi   | WM <sub>E</sub> | WM <sub>H</sub> |
|-------|--------------|------------------|--------------|-----------------|------------------|------------------------------|---|-----------------|-----------------|
| G     | 2,9          | 4,56             | 0,008        | 0,012           | 0,3-2,0          | 54°03'48.2"N<br>15°16'00.5"E | Słowackiego 54, pomiar w otworze okiennym, piętro 2, mieszkania 7 - DPP     | 0,163           | 0,166           |
|       | 2,3          | 3,62             | 0,006        | 0,010           | 0,3-2,0          |                              | Słowackiego 54, pomiar w otworze okiennym, piętro 1, mieszkania 4 - DPP     | 0,129           | 0,131           |
|       | 1,9          | 2,99             | 0,005        | 0,008           | 0,3-2,0          |                              | Słowackiego 54, pomiar przy otworze okiennym przed budynkiem -DPP           | 0,107           | 0,109           |
| H     | 3,5          | 5,50             | 0,009        | 0,015           | 0,3-2,0          | 54°03'41.2"N<br>15°15'53.1"E | Kościuszki 40, pomiar w otworze okiennym, piętro 3, klatka -DPP             | 0,197           | 0,200           |
|       | 2,7          | 4,24             | 0,007        | 0,011           | 0,3-2,0          |                              | Kościuszki 40, pomiar w otworze okiennym, piętro 2, klatka -DPP             | 0,152           | 0,154           |
|       | 2,4          | 3,77             | 0,006        | 0,010           | 0,3-2,0          |                              | Kościuszki 40, pomiar w otworze okiennym, piętro 1, klatka -DPP             | 0,135           | 0,137           |
|       | 1,4          | 2,20             | 0,004        | 0,006           | 0,3-2,0          |                              | Kościuszki 40, pomiar przy otworze okiennym przed budynkiem -DPP            | 0,079           | 0,080           |
| I     | 1,4          | 2,20             | 0,004        | 0,006           | 0,3-2,0          | 54°03'40.8"N<br>15°15'53.9"E | Wojska Polskiego 45, pomiar w otworze okiennym, piętro 2, mieszkania 9 -DPP | 0,079           | 0,080           |
|       | 0,7*         | 1,26             | 0,002        | 0,003           | 0,3-2,0          |                              | Wojska Polskiego 45, pomiar w otworze okiennym, piętro 1, mieszkania 6 -DPP | 0,045           | 0,046           |
|       | 0,7*         | 1,26             | 0,002        | 0,003           | 0,3-2,0          |                              | Wojska Polskiego 45, pomiar przy otworze okiennym przed budynkiem -DPP      | 0,045           | 0,046           |
| J     | 0,9          | 1,41             | 0,002        | 0,004           | 0,3-2,0          | 54°03'47.9"N<br>15°15'50.5"E | Pocztowa 23, pomiar w otworze okiennym, piętro 4, klatka -DPP               | 0,051           | 0,051           |
|       | 0,7*         | 1,26             | 0,002        | 0,003           | 0,3-2,0          |                              | Pocztowa 23, pomiar w otworze okiennym, piętro 3, klatka -DPP               | 0,045           | 0,046           |
|       | 0,7*         | 1,26             | 0,002        | 0,003           | 0,3-2,0          |                              | Pocztowa 23, pomiar w otworze okiennym, piętro 2, klatka -DPP               | 0,045           | 0,046           |
|       | 0,7*         | 1,26             | 0,002        | 0,003           | 0,3-2,0          |                              | Pocztowa 23, pomiar w otworze okiennym, piętro 1, klatka -DPP               | 0,045           | 0,046           |
|       | 0,7*         | 1,26             | 0,002        | 0,003           | 0,3-2,0          |                              | Pocztowa 23, pomiar przy otworze okiennym przed budynkiem -DPP              | 0,045           | 0,046           |
| K     | 0,7*         | 1,26             | 0,002        | 0,003           | 0,3-2,0          | 54°03'46.5"N<br>15°15'45.9"E | Kościuszki 25, pomiar w otworze okiennym, piętro 3, klatka -DPP             | 0,045           | 0,046           |
|       | 0,7*         | 1,26             | 0,002        | 0,003           | 0,3-2,0          |                              | Kościuszki 25, pomiar w otworze okiennym, piętro 2, klatka -DPP             | 0,045           | 0,046           |
|       | 1,5          | 2,36             | 0,004        | 0,006           | 0,3-2,0          |                              | Kościuszki 25, pomiar w otworze okiennym, piętro 1, klatka -DPP             | 0,084           | 0,086           |
| L     | 0,7*         | 1,26             | 0,002        | 0,003           | 0,3-2,0          | 54°03'53.0"N<br>15°16'22.8"E | Nowa 1, pomiar przy otworze okiennym przed budynkiem -DPP                   | 0,045           | 0,046           |
| M     | 1,4          | 2,20             | 0,004        | 0,006           | 0,3-2,0          | 54°03'54.4"N<br>15°16'26.0"E | Kołobrzeska 1, pomiar przy furtce przed posesją -DPP                        | 0,079           | 0,080           |
| N     | 0,9          | 1,41             | 0,002        | 0,004           | 0,3-2,0          | 54°03'54.2"N<br>15°15'38.1"E | Morska 7, pomiar przy otworze okiennym przed budynkiem -DPP                 | 0,051           | 0,051           |

Wynik pomiaru pole - E [V/m] - maksymalna wartość chwilowa zmierzona w danym pionie pomiarowym (uśredniona na podstawie punktu 11 załącznika do Rozporządzenia Ministra Klimatu z dnia 17 lutego 2020 r. w sprawie sposobów sprawdzania dotrzymania dopuszczalnych poziomów pól elektromagnetycznych w środowisku (Dz.U. 2022 poz. 2630)). Zgodnie z pkt. 7 załącznika do Rozporządzenia Ministra Klimatu z dnia 17 lutego 2020 r. w sprawie sposobów sprawdzania dotrzymania dopuszczalnych poziomów pól elektromagnetycznych w środowisku (Dz.U. 2022 poz. 2630) nie stosuje się poprawek pomiarowych.

Przyjęto najniższą dopuszczalną wartość składowej elektrycznej pola dla objętego pomiarami zakresu częstotliwości min(ME<sub>gr</sub>)= 28 V/m oraz składowej magnetycznej min(MH<sub>gr</sub>)= 0,073 A/m.

\* - wartość zmierzona poniżej zakresu akredytacji. Do obliczeń przyjęto wartość zgodną z dolną granicą akredytowanego zakresu pomiarowego metody.

„Bez pisemnej zgody Laboratorium niniejsze sprawozdanie nie może być powielane inaczej, jak tylko w całości. Ponadto wyniki dotyczą tylko badanych obiektów przywołanych w niniejszym sprawozdaniu z badań”



GKP - główne kierunki pomiarowe  
PKP - pomocnicze kierunki pomiarowe  
DPP - dodatkowe punkty pomiarowe  
PP - pion pomiarowy  
U - niepewność pomiarowa rozszerzona, przy poziomie ufności 95%, z uwzględnieniem współczynnika rozszerzenia  $k=2$   
WM<sub>E</sub> - wartość wskaźnikowa poziomu emisji pól elektromagnetycznych dla miejsc dostępnych dla ludności dla składowej elektrycznej pola  
WM<sub>H</sub> - wartość wskaźnikowa poziomu emisji pól elektromagnetycznych dla miejsc dostępnych dla ludności dla składowej magnetycznej pola

## 7. Stwierdzenie zgodności

Na podstawie wytycznych podanych w Rozporządzeniu Ministra Zdrowia z dnia 17 grudnia 2019 r. w sprawie dopuszczalnych poziomów pól elektromagnetycznych w środowisku (Dz.U. 2019 poz. 2448) oraz sposobów sprawdzania dotrzymania tych poziomów zgodnie z Rozporządzeniem Ministra Klimatu z dnia 17 lutego 2020 r. w sprawie sposobów sprawdzania dotrzymania dopuszczalnych poziomów pól elektromagnetycznych w środowisku (Dz.U. 2022 poz. 2630), dotyczących źródła wymagań, które muszą być spełnione, w oparciu o zasadę podejmowania decyzji zgodną z pkt. 26 Rozporządzenia Ministra Klimatu z dnia 17 lutego 2020 r. (Dz.U. 2022 poz. 2630), na podstawie wyników pomiarów pól elektromagnetycznych wykonanych w dniu 14.02.2024r. stwierdzono, że wszystkie wyniki przeprowadzonych pomiarów w danym obszarze pomiarowym oraz wyznaczone na tej podstawie wskaźniki WME oraz WMH są mniejsze od wartości dopuszczalnych – zgodnie z przepisami wydanymi na podstawie art. 122 ust. 1 ustawy z dnia 27 kwietnia 2001 r. – Prawo ochrony środowiska – załącznikiem do Rozporządzenia Ministra Klimatu i Środowiska z dnia 17 lutego 2020 r. w sprawie sposobów sprawdzania dotrzymania dopuszczalnych poziomów pól elektromagnetycznych w środowisku (Dz.U. 2022 poz. 2630, pkt 26).

## 8. Oświadczenie.

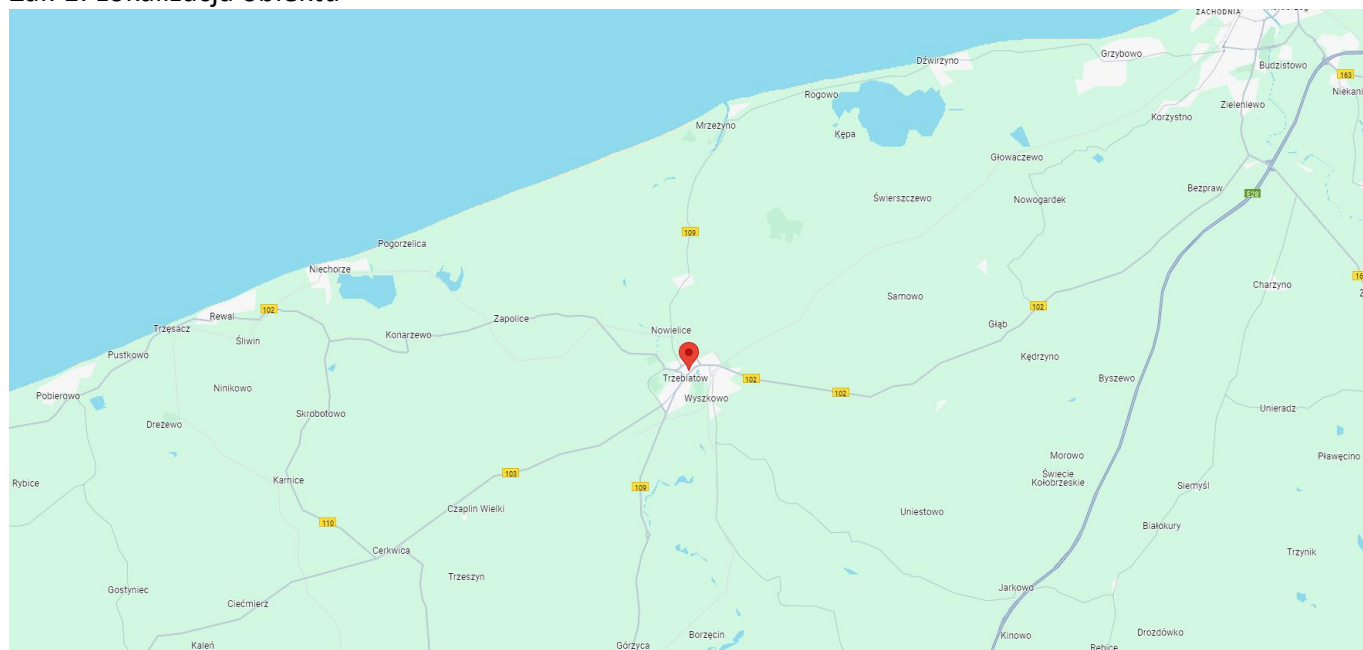
Wyniki badania odnoszą się wyłącznie do badanego obiektu.  
Bez pisemnej zgody sprawozdanie nie może być powielane inaczej, jak tylko w całości.  
Uwagi i zastrzeżenia przyjmowane są w formie pisemnej.

## 9. Spis załączników.

Zał. 1. Lokalizacja obiektu.  
Zał. 2. Widok pionów pomiarowych  
Zał. 3. Załączniki graficzne

**Koniec sprawozdania**

## Załącznik 1. Lokalizacja obiektu



| Współrzędne geograficzne |              |
|--------------------------|--------------|
| długość:                 | 15°16'00.0"E |
| szerokość:               | 54°03'50.0"N |

## Zał. 2. Widok pionów pomiarowych



Załącznik 3. Załączniki graficzne.

